

第 414 回 地震調査委員会資料

< 目 次 >

- ◆ 広帯域地震計を用いたモーメントテンソル解析結果（2025年5月01日-5月31日）…………… 2
- ◆ 紀伊半島・東海地域の深部低周波微動活動状況（2025年5月）…………… 13
- ◆ 四国の深部低周波微動活動状況（2025年月）…………… 14
- ◆ 紀伊半島北部の短期的スロースリップ活動状況（2025年5月）…………… 15
- ◆ 日向灘及びその周辺域における超低周波地震活動（2025年5月）…………… 16
- ◆ 山口県北部の地震活動に伴う傾斜変動…………… 17

令和7年6月10日



国立研究開発法人

防災科学技術研究所

National Research Institute for Earth Science and Disaster Resilience

広帯域地震計を用いたモーメントテンソル解析結果
(2025年05月01日-05月31日)

国立研究開発法人 防災科学技術研究所

期間中のイベント数:83

・千島列島

6) 遠地 (05/02 14:15 Mw4.2 H_20km VR84.75/2) 北西—南東方向に圧縮軸を持つ型

・北海道地方

- 20) 十勝沖 (05/09 12:24 Mw4.4 H_41km VR70.41/3) 北北東—南南西伸張の正断層
- 22) オホーツク海南部 (05/09 15:15 Mw4.3 H380km VR85.90/3) 北北西—南南東圧縮の逆断層
- 25) 択捉島付近 (05/11 09:36 Mw4.2 H_44km VR83.88/3) 北西—南東方向に圧縮軸を持つ型
- 27) 浦河沖 (05/12 23:54 Mw5.4 H_56km VR71.01/3) 西北西—東南東圧縮の逆断層
- 28) 胆振支庁中東部 (05/13 06:33 Mw4.3 H125km VR83.00/3) 北北西—南南東伸張の正断層
- 43) 十勝支庁中部 (05/15 22:05 Mw4.7 H_95km VR87.14/3) 北北西—南南東方向に圧縮軸を持つ型
- 44) 釧路沖 (05/16 22:15 Mw4.0 H_56km VR85.23/3) 東北東—西南西方向に圧縮軸を持つ型
- 46) 根室半島南東沖 (05/18 09:32 Mw4.4 H_23km VR87.98/3) 北北西—南南東伸張の正断層
- 54) 浦河沖 (05/23 06:28 Mw5.4 H_56km VR80.34/3) 西北西—東南東圧縮の逆断層
- 57) 十勝支庁南部 (05/26 17:47 Mw5.3 H_56km VR75.63/3) 西北西—東南東圧縮の逆断層
- 58) 十勝支庁南部 (05/26 23:30 Mw4.3 H_53km VR75.83/3) 北西—南東圧縮の逆断層
- 62) 浦河沖 (05/27 21:23 Mw4.2 H_53km VR82.37/3) 西北西—東南東圧縮の逆断層
- 65) 択捉島付近 (05/29 06:38 Mw4.3 H_11km VR74.60/3) 北西—南東圧縮の逆断層
- 68) 択捉島付近 (05/29 22:03 Mw4.2 H_8km VR71.64/3) 北西—南東圧縮の逆断層
- 69) 択捉島付近 (05/29 22:07 Mw4.7 H_8km VR73.82/3) 北西—南東圧縮の逆断層
- 70) 択捉島付近 (05/29 23:27 Mw4.3 H_11km VR78.16/3) 北西—南東圧縮の逆断層
- 71) 北海道東方沖 (05/30 07:23 Mw5.4 H_35km VR85.29/3) 西北西—東南東圧縮の逆断層
- 77) 択捉島付近 (05/31 12:13 Mw4.5 H150km VR53.23/3) 東西方向に圧縮軸を持つ型
- 78) 釧路沖 (05/31 17:37 Mw6.1 H_23km VR90.92/3) 北西—南東圧縮の逆断層
- 80) 釧路沖 (05/31 20:37 Mw4.5 H_26km VR80.07/3) 北西—南東圧縮の逆断層
- 81) 釧路沖 (05/31 20:40 Mw4.0 H_26km VR51.15/3) 北西—南東圧縮の逆断層
- 82) 釧路沖 (05/31 21:29 Mw4.5 H_23km VR76.89/3) 北西—南東圧縮の逆断層
- 83) 釧路沖 (05/31 23:47 Mw4.3 H_23km VR76.93/3) 北西—南東圧縮の逆断層

・東北地方

- 30) 福島県中通り地方 (05/13 10:37 Mw4.5 H_77km VR76.28/3) 西北西—東南東方向に圧縮軸を持つ型
- 36) 宮城県沖 (05/14 17:32 Mw4.0 H_38km VR90.69/3) 西北西—東南東方向に圧縮軸を持つ型
- 49) 福島県沖 (05/19 12:14 Mw4.3 H_5km VR89.78/3) 北北西—南南東伸張の正断層
- 56) 宮城県沖 (05/26 09:56 Mw4.2 H_32km VR90.05/3) 北北東—南南西伸張の正断層

・関東・中部地方

- 7) 東京都23区 (05/04 12:35 Mw4.3 H_80km VR86.48/3) 西北西—東南東方向に伸長軸を持つ型
- 10) 茨城県沖 (05/05 01:34 Mw4.2 H_41km VR85.89/3) 北西—南東圧縮の逆断層
- 11) 関東東方沖 (05/05 06:14 Mw4.2 H_17km VR88.87/3) 西北西—東南東圧縮の逆断層
- 21) 石川県西方沖 (05/09 13:34 Mw4.2 H_5km VR92.22/3) 西北西—東南東圧縮の逆断層

・小笠原地方

8) 父島近海	(05/04 12:48 Mw5.3 H_5km VR73.83/3) 東西圧縮の逆断層
31) 父島近海	(05/13 15:50 Mw4.0 H_35km VR65.04/3) 東北東—西南西方向に圧縮軸を持つ型
<u>33) 鳥島近海</u>	<u>(05/14 01:52 Mw5.5 H460km VR73.93/3) 北西—南東方向に圧縮軸を持つ型</u>
38) 八丈島近海	(05/15 01:33 Mw4.1 H_53km VR91.12/3) 東西方向に圧縮軸を持つ型
50) 鳥島東方沖	(05/21 20:32 Mw4.2 H_23km VR65.96/3) 北北東—南南西方向に圧縮軸を持つ型
・東海道沖	
26) 東海道沖	(05/11 16:15 Mw4.2 H440km VR51.48/3) 東北東—西南西方向に圧縮軸を持つ型
・近畿地方	
74) 紀伊半島沖	(05/31 00:01 Mw4.4 H420km VR70.53/3) 西北西—東南東方向に圧縮軸を持つ型
・九州地方	
5) 種子島近海	(05/02 10:44 Mw4.3 H_32km VR81.83/3) 西北西—東南東圧縮の逆断層
14) 奄美大島近海	(05/07 11:15 Mw4.5 H_23km VR68.15/3) 北西—南東圧縮の逆断層
15) 奄美大島近海	(05/07 19:50 Mw4.5 H_23km VR73.05/3) 北西—南東圧縮の逆断層
16) 奄美大島近海	(05/07 20:36 Mw4.3 H_20km VR72.25/3) 北西—南東圧縮の逆断層
17) 奄美大島近海	(05/08 00:57 Mw4.2 H_23km VR75.81/3) 北西—南東圧縮の逆断層
23) 奄美大島近海	(05/10 20:45 Mw4.5 H_68km VR90.65/3) 西北西—東南東方向に圧縮軸を持つ型
・沖縄地方	
4) 石垣島南方沖	(05/01 23:51 Mw4.9 H_41km VR82.94/2) 東西圧縮の横ずれ断層
9) 沖縄本島近海	(05/04 15:20 Mw4.2 H_23km VR74.87/2) 北西—南東圧縮の逆断層
12) 台湾付近	(05/05 19:27 Mw4.7 H_8km VR58.71/2) 北西—南東圧縮の逆断層
35) 台湾付近	(05/14 11:48 Mw4.3 H_32km VR70.97/2) 東北東—西南西圧縮の横ずれ断層
48) 台湾付近	(05/19 04:55 Mw4.0 H_35km VR64.13/2) 西北西—東南東方向に圧縮軸を持つ型
60) 台湾付近	(05/27 20:02 Mw4.9 H_5km VR82.54/2) 北北東—南南西伸張の正断層
61) 台湾付近	(05/27 20:33 Mw4.7 H_5km VR82.90/2) 南北伸張の正断層
<u>63) 台湾付近</u>	<u>(05/27 22:35 Mw5.0 H_5km VR83.98/2) 南北伸張の正断層</u>
64) 台湾付近	(05/28 23:48 Mw4.7 H_5km VR82.22/2) 北北東—南南西伸張の正断層

*Mw4.0以上をリストアップ.

**下線部はMw5.0以上を示す.

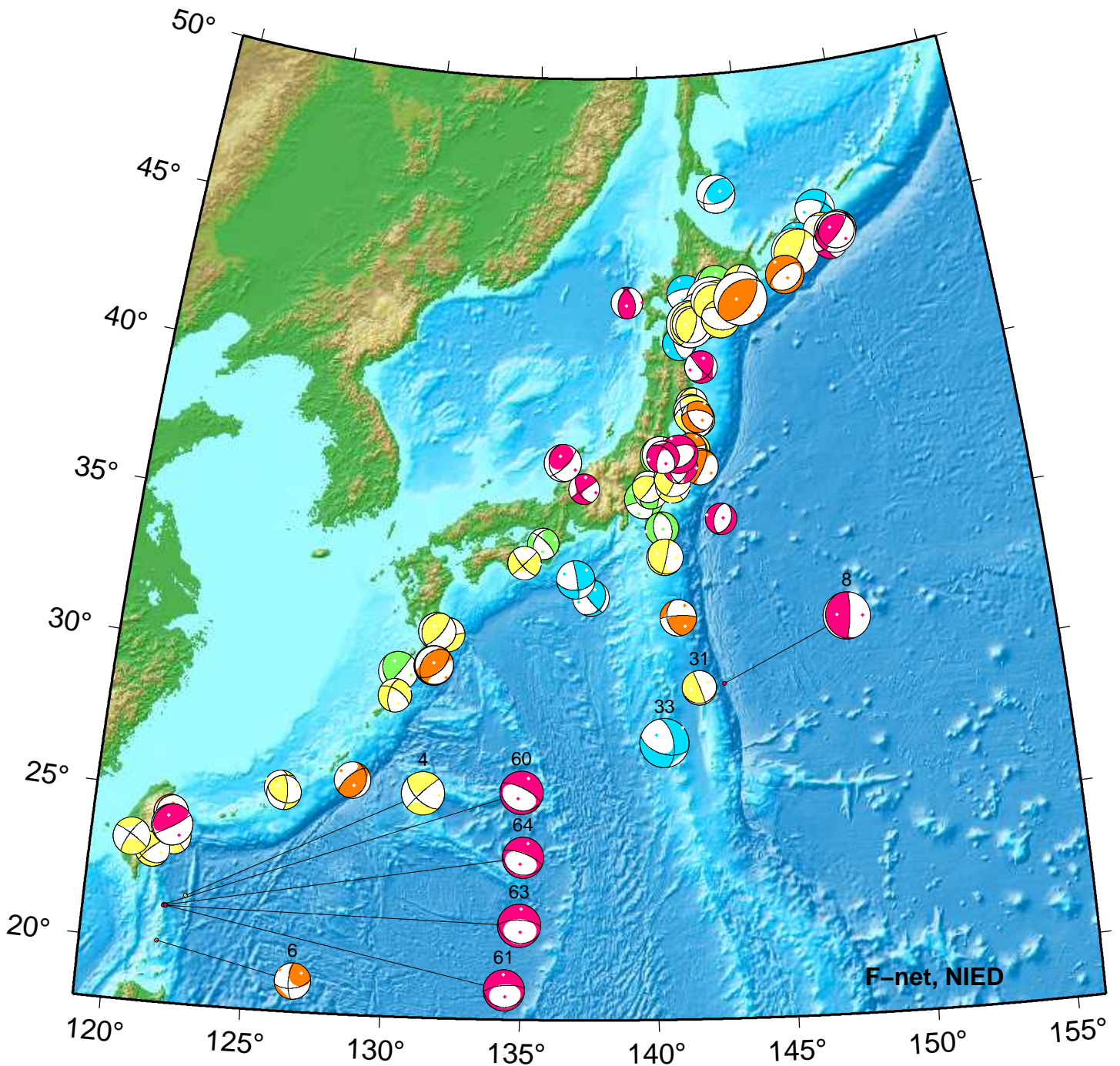
***"VR"欄の"/"の後の数は解析に使用した観測点数を示す.

****断層タイプの分類はFrohlich [1992]による.

謝辞 地形データは海上保安庁のものを使用させて頂きました. 記して感謝いたします

NIED Moment Tensor Solutions

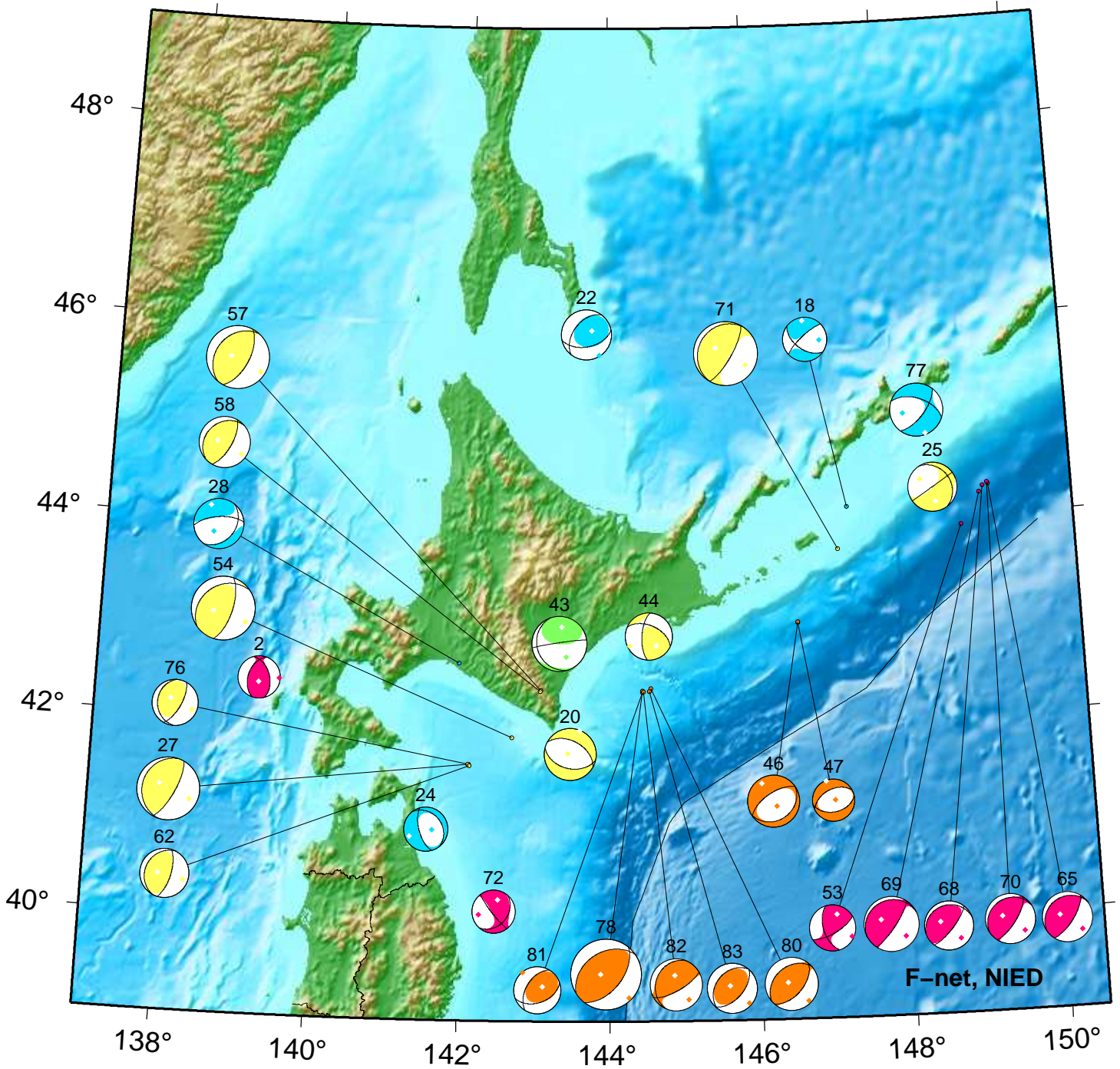
May 01,2025–May 31,2025(JST)



4. 05/01 23:51 Mw4.9 H_41km VR82.9	31. 05/13 15:50 Mw4.0 H_35km VR65.0	61. 05/27 20:33 Mw4.7 H_5km VR82.9
6. 05/02 14:15 Mw4.2 H_20km VR84.8	33. 05/14 01:52 Mw5.5 H460km VR73.9	63. 05/27 22:35 Mw5.0 H_5km VR84.0
8. 05/04 12:48 Mw5.3 H_5km VR73.8	60. 05/27 20:02 Mw4.9 H_5km VR82.5	64. 05/28 23:48 Mw4.7 H_5km VR82.2

Hokkaido

May 01,2025–May 31,2025(JST)



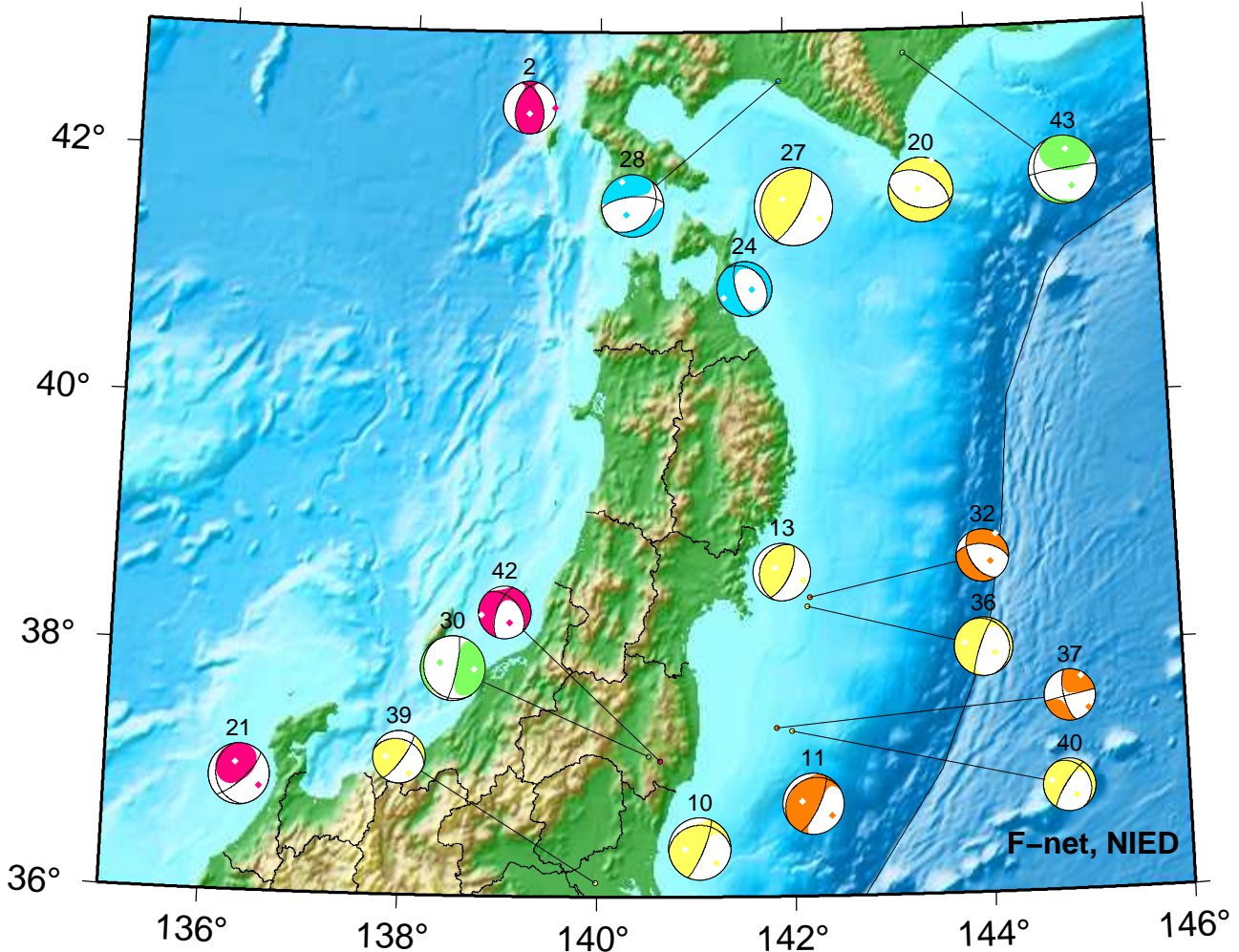
F-net, NIED



2. 05/01 12:54 Mw3.6 H_11km VR69.4	46. 05/18 09:32 Mw4.4 H_23km VR88.0	70. 05/29 23:27 Mw4.3 H_11km VR78.2
18. 05/09 04:42 Mw3.8 H101km VR73.2	47. 05/18 09:59 Mw3.6 H_29km VR58.0	71. 05/30 07:23 Mw5.4 H_35km VR85.3
20. 05/09 12:24 Mw4.4 H_41km VR70.4	53. 05/22 21:36 Mw3.9 H_14km VR53.5	72. 05/30 14:39 Mw3.7 H_5km VR86.7
22. 05/09 15:15 Mw4.3 H380km VR85.9	54. 05/23 06:28 Mw5.4 H_56km VR80.3	76. 05/31 04:22 Mw3.9 H_56km VR82.7
24. 05/10 21:43 Mw3.8 H107km VR53.9	57. 05/26 17:47 Mw5.3 H_56km VR75.6	77. 05/31 12:13 Mw4.5 H150km VR53.2
25. 05/11 09:36 Mw4.2 H_44km VR83.9	58. 05/26 23:30 Mw4.3 H_53km VR75.8	78. 05/31 17:37 Mw6.1 H_23km VR90.9
27. 05/12 23:54 Mw5.4 H_56km VR71.0	62. 05/27 21:23 Mw4.2 H_53km VR82.4	80. 05/31 20:37 Mw4.5 H_26km VR80.1
28. 05/13 06:33 Mw4.3 H125km VR83.0	65. 05/29 06:38 Mw4.3 H_11km VR74.6	81. 05/31 20:40 Mw4.0 H_26km VR51.1
43. 05/15 22:05 Mw4.7 H_95km VR87.1	68. 05/29 22:03 Mw4.2 H_8km VR71.6	82. 05/31 21:29 Mw4.5 H_23km VR76.9
44. 05/16 22:15 Mw4.0 H_56km VR85.2	69. 05/29 22:07 Mw4.7 H_8km VR73.8	83. 05/31 23:47 Mw4.3 H_23km VR76.9

Tohoku

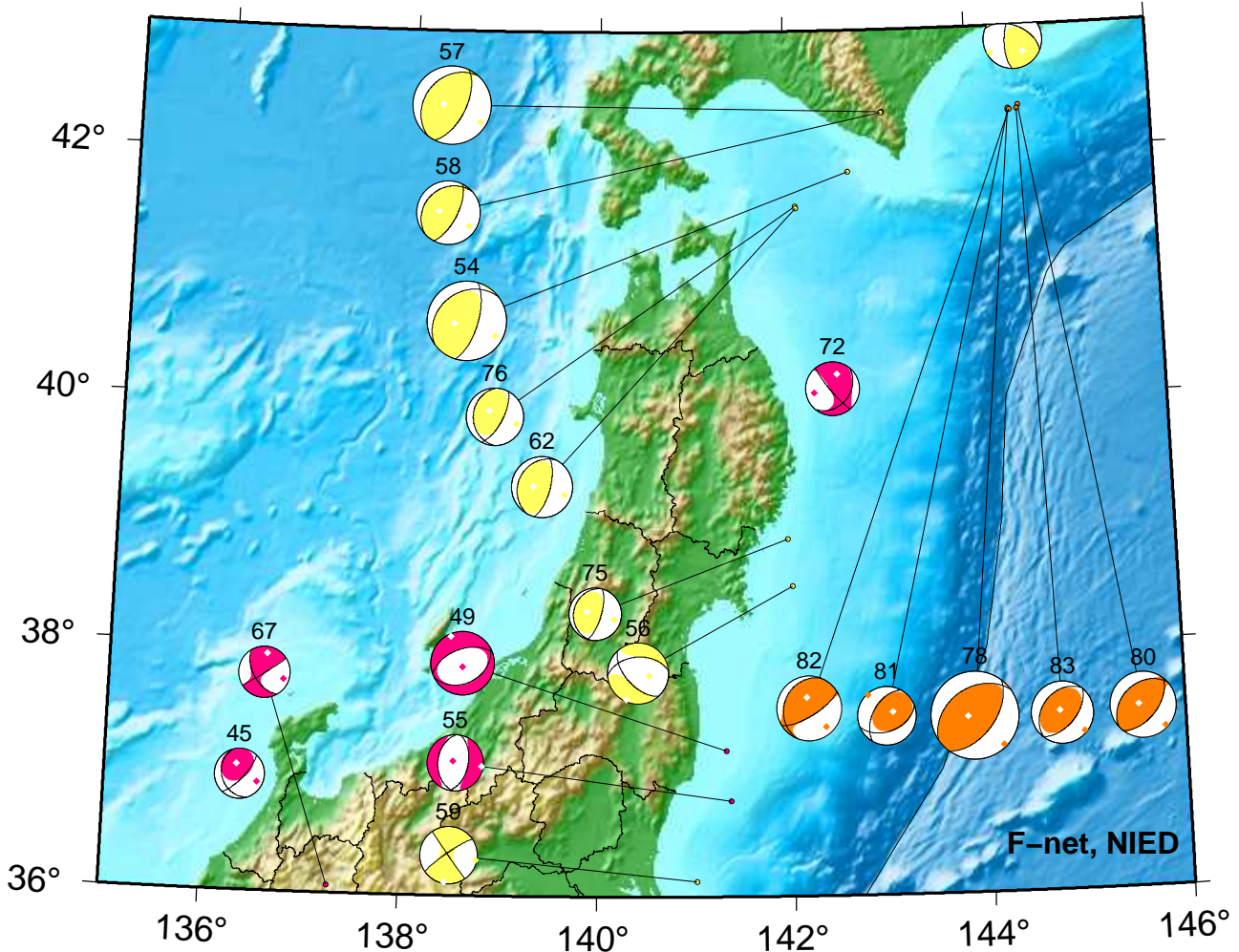
May 01,2025–May 15,2025(JST)



2. 05/01 12:54 Mw3.6 H_11km VR69.4	24. 05/10 21:43 Mw3.8 H107km VR53.9	37. 05/14 23:13 Mw3.5 H_23km VR77.1
10. 05/05 01:34 Mw4.2 H_41km VR85.9	27. 05/12 23:54 Mw5.4 H_56km VR71.0	39. 05/15 02:05 Mw3.6 H_53km VR68.6
11. 05/05 06:14 Mw4.2 H_17km VR88.9	28. 05/13 06:33 Mw4.3 H125km VR83.0	40. 05/15 02:17 Mw3.6 H_32km VR75.7
13. 05/06 18:22 Mw3.9 H_47km VR79.3	30. 05/13 10:37 Mw4.5 H_77km VR76.3	42. 05/15 14:05 Mw3.6 H_5km VR83.8
20. 05/09 12:24 Mw4.4 H_41km VR70.4	32. 05/14 01:44 Mw3.6 H_23km VR74.4	43. 05/15 22:05 Mw4.7 H_95km VR87.1
21. 05/09 13:34 Mw4.2 H_5km VR92.2	36. 05/14 17:32 Mw4.0 H_38km VR90.7	

Tohoku

May 16,2025–May 31,2025(JST)



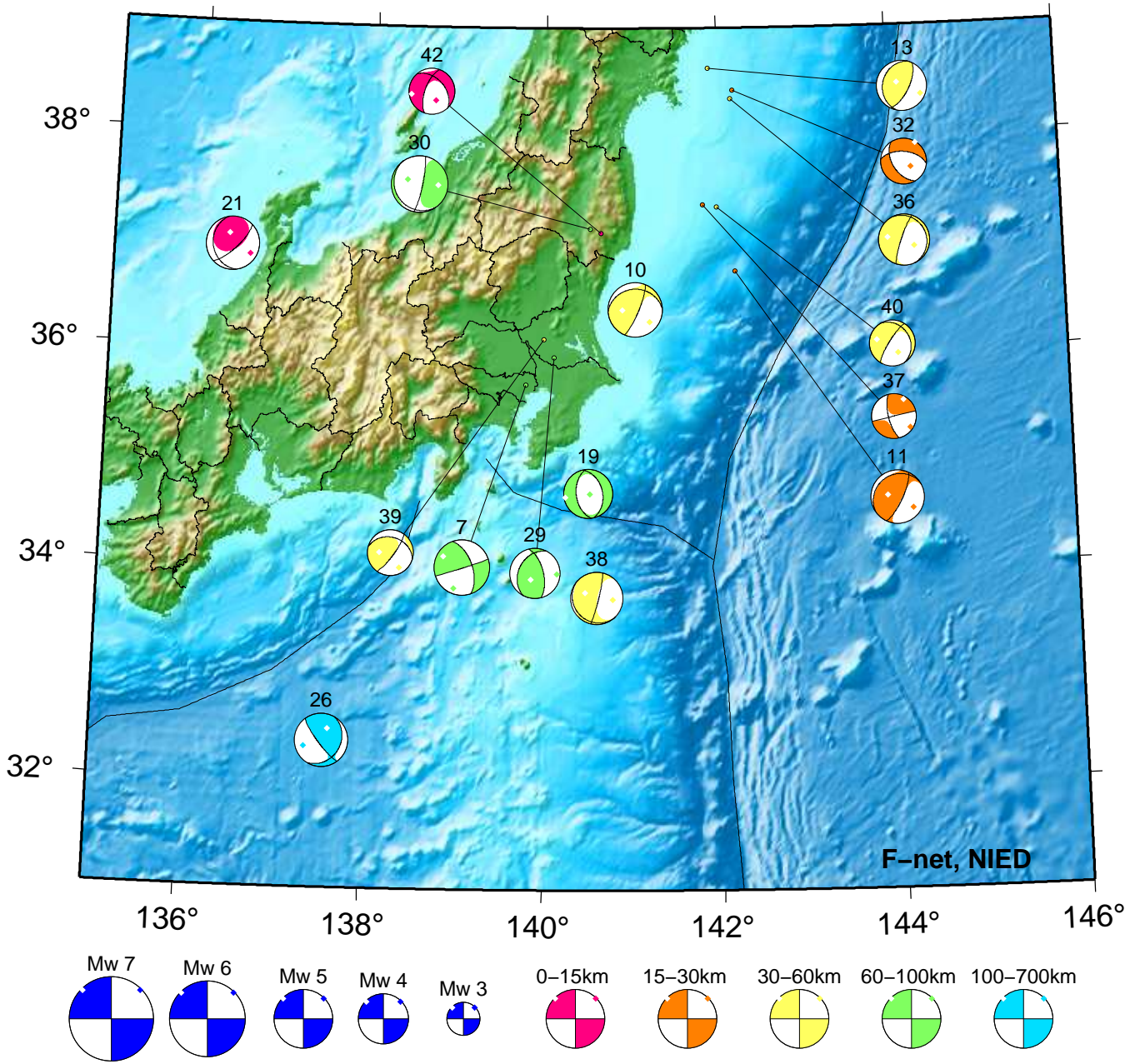
F-net, NIED



44. 05/16 22:15 Mw4.0 H_56km VR85.2	58. 05/26 23:30 Mw4.3 H_53km VR75.8	78. 05/31 17:37 Mw6.1 H_23km VR90.9
45. 05/17 03:20 Mw3.4 H_5km VR62.6	59. 05/27 00:33 Mw3.9 H_41km VR90.3	80. 05/31 20:37 Mw4.5 H_26km VR80.1
49. 05/19 12:14 Mw4.3 H_5km VR89.8	62. 05/27 21:23 Mw4.2 H_53km VR82.4	81. 05/31 20:40 Mw4.0 H_26km VR51.1
54. 05/23 06:28 Mw5.4 H_56km VR80.3	67. 05/29 16:21 Mw3.5 H_14km VR79.2	82. 05/31 21:29 Mw4.5 H_23km VR76.9
55. 05/23 23:44 Mw3.9 H_11km VR77.0	72. 05/30 14:39 Mw3.7 H_5km VR86.7	83. 05/31 23:47 Mw4.3 H_23km VR76.9
56. 05/26 09:56 Mw4.2 H_32km VR90.0	75. 05/31 01:47 Mw3.6 H_50km VR73.6	
57. 05/26 17:47 Mw5.3 H_56km VR75.6	76. 05/31 04:22 Mw3.9 H_56km VR82.7	

Kanto-Chubu

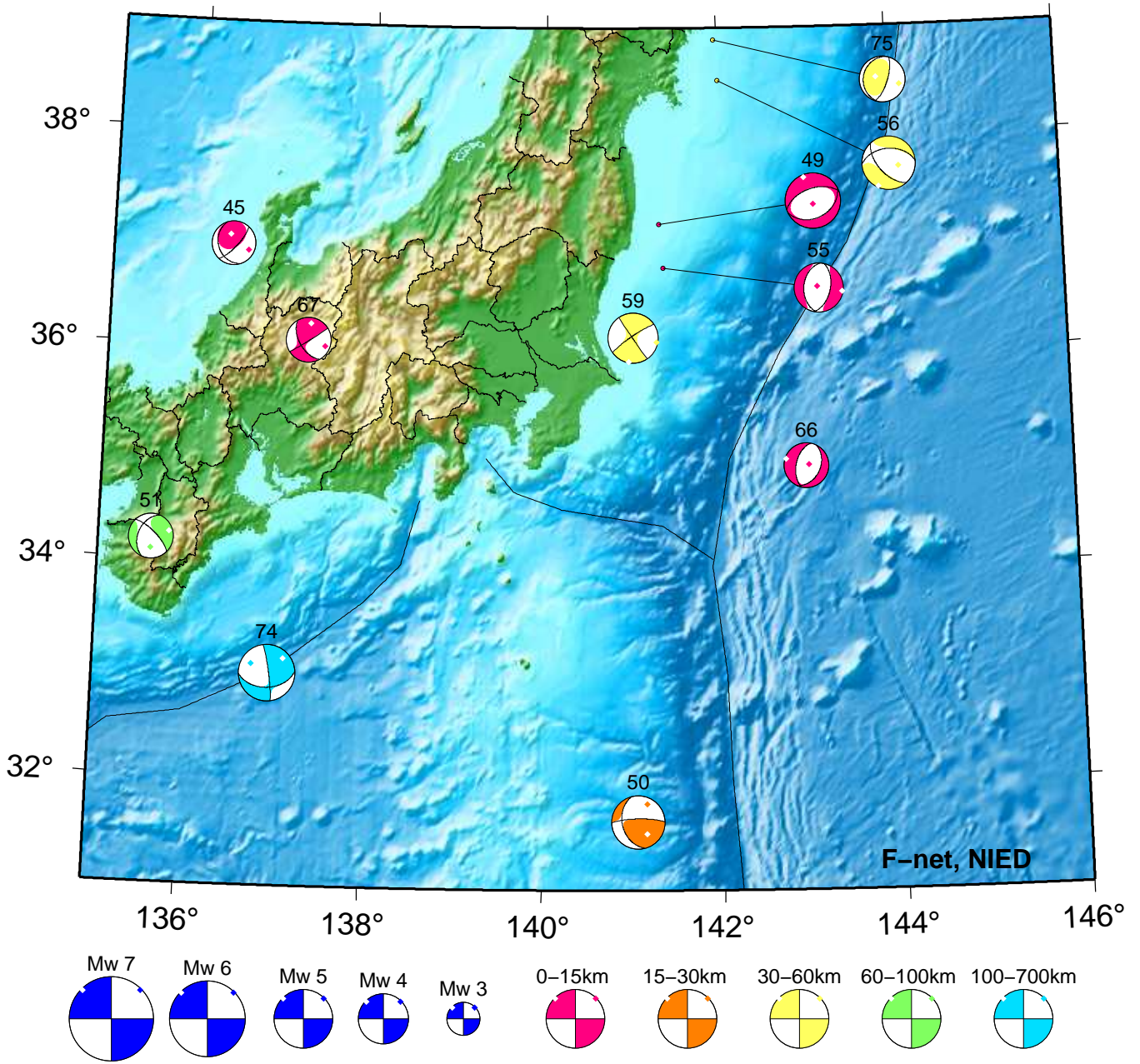
May 01,2025-May 15,2025(JST)



7. 05/04 12:35 Mw4.3 H_80km VR86.5	26. 05/11 16:15 Mw4.2 H440km VR51.5	38. 05/15 01:33 Mw4.1 H_53km VR91.1
10. 05/05 01:34 Mw4.2 H_41km VR85.9	29. 05/13 08:33 Mw3.9 H_65km VR85.4	39. 05/15 02:05 Mw3.6 H_53km VR68.6
11. 05/05 06:14 Mw4.2 H_17km VR88.9	30. 05/13 10:37 Mw4.5 H_77km VR76.3	40. 05/15 02:17 Mw3.6 H_32km VR75.7
13. 05/06 18:22 Mw3.9 H_47km VR79.3	32. 05/14 01:44 Mw3.6 H_23km VR74.4	42. 05/15 14:05 Mw3.6 H_5km VR83.8
19. 05/09 12:17 Mw3.8 H_80km VR54.9	36. 05/14 17:32 Mw4.0 H_38km VR90.7	
21. 05/09 13:34 Mw4.2 H_5km VR92.2	37. 05/14 23:13 Mw3.5 H_23km VR77.1	

Kanto-Chubu

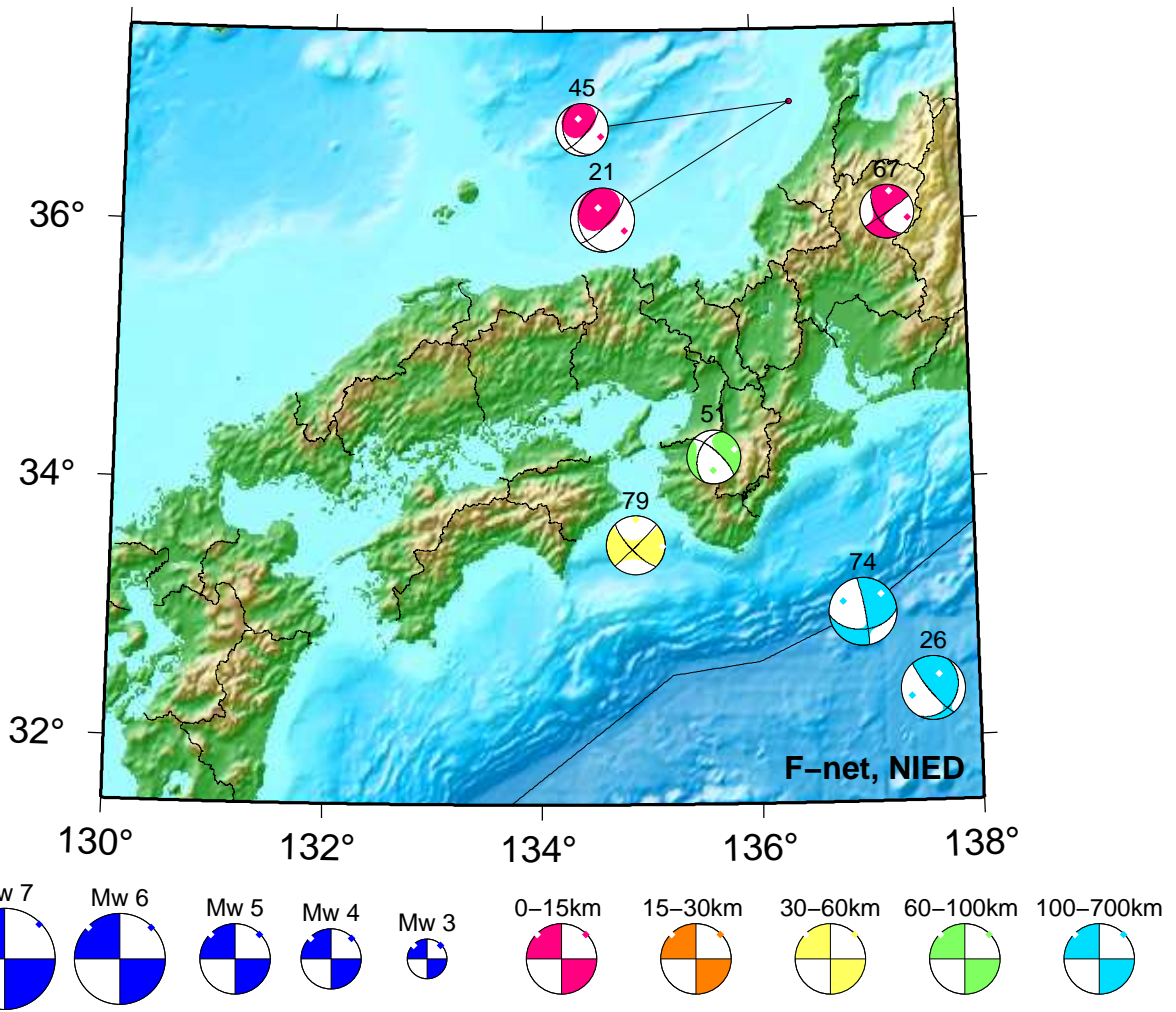
May 16,2025-May 31,2025(JST)



45. 05/17 03:20 Mw3.4 H_5km VR62.6	55. 05/23 23:44 Mw3.9 H_11km VR77.0	67. 05/29 16:21 Mw3.5 H_14km VR79.2
49. 05/19 12:14 Mw4.3 H_5km VR89.8	56. 05/26 09:56 Mw4.2 H_32km VR90.0	74. 05/31 00:01 Mw4.4 H420km VR70.5
50. 05/21 20:32 Mw4.2 H_23km VR66.0	59. 05/27 00:33 Mw3.9 H_41km VR90.3	75. 05/31 01:47 Mw3.6 H_50km VR73.6
51. 05/21 20:49 Mw3.5 H_68km VR71.7	66. 05/29 15:53 Mw3.6 H_8km VR56.7	

Kinki-Chugoku-Shikoku

May 01,2025-May 31,2025(JST)



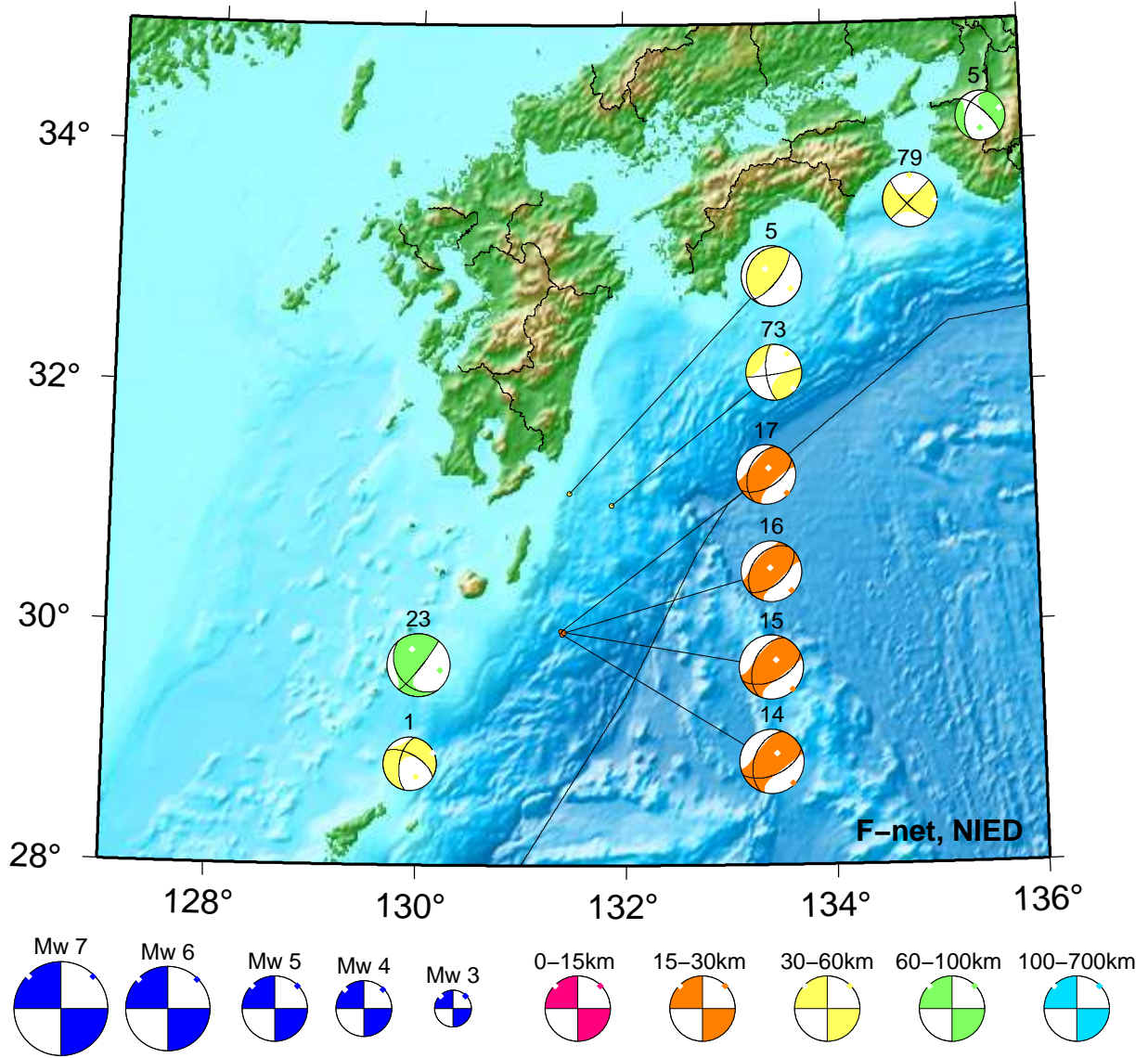
21. 05/09 13:34 Mw4.2 H_5km VR92.2
 26. 05/11 16:15 Mw4.2 H440km VR51.5
 45. 05/17 03:20 Mw3.4 H_5km VR62.6

51. 05/21 20:49 Mw3.5 H_68km VR71.7
 67. 05/29 16:21 Mw3.5 H_14km VR79.2
 74. 05/31 00:01 Mw4.4 H420km VR70.5

79. 05/31 20:15 Mw3.8 H_35km VR57.8

Kyushu

May 01,2025–May 31,2025(JST)



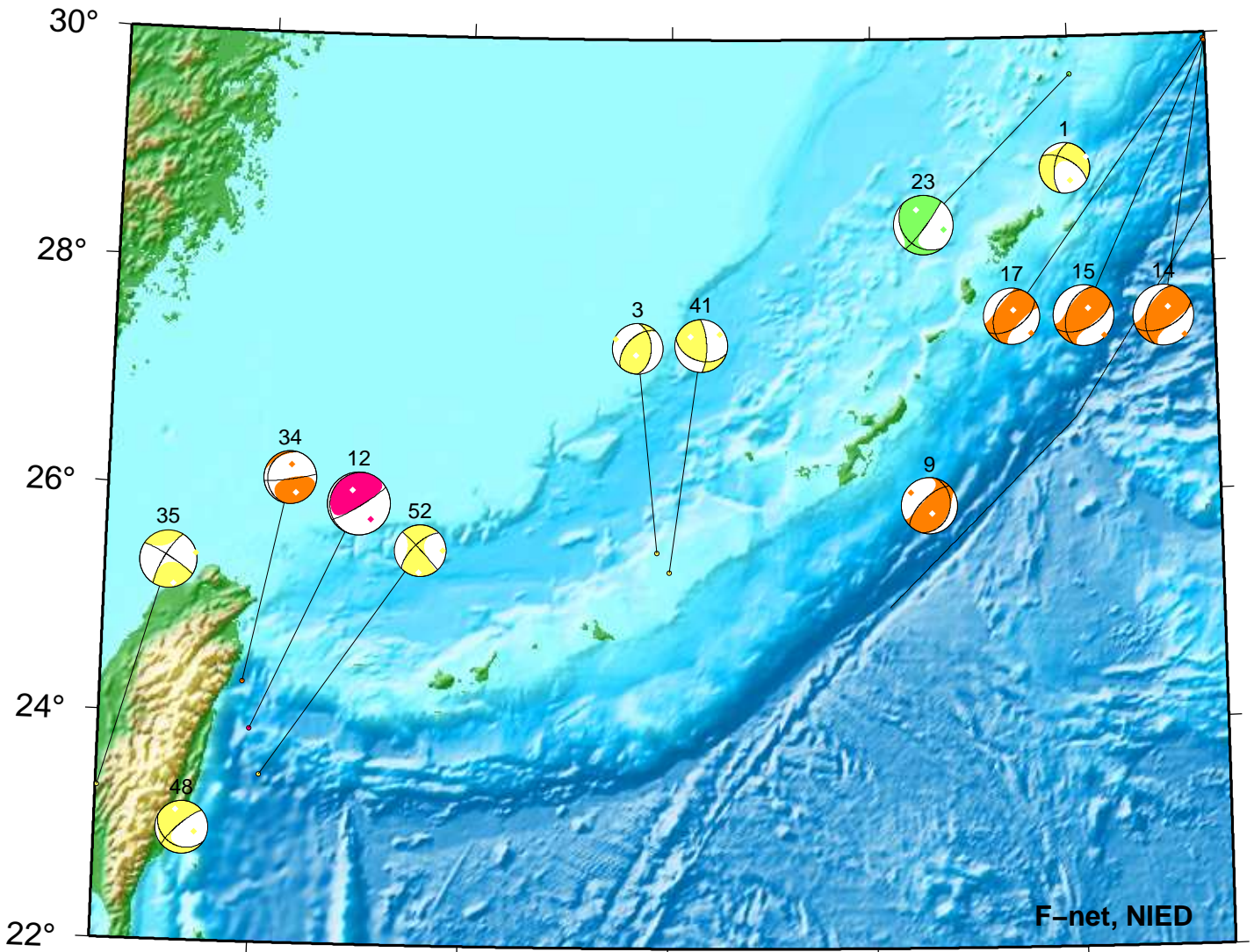
1. 05/01 07:35 Mw3.8 H_38km VR64.5
 5. 05/02 10:44 Mw4.3 H_32km VR81.8
 14. 05/07 11:15 Mw4.5 H_23km VR68.2
 15. 05/07 19:50 Mw4.5 H_23km VR73.0

16. 05/07 20:36 Mw4.3 H_20km VR72.2
 17. 05/08 00:57 Mw4.2 H_23km VR75.8
 23. 05/10 20:45 Mw4.5 H_68km VR90.7
 51. 05/21 20:49 Mw3.5 H_68km VR71.7

73. 05/30 22:45 Mw3.9 H_38km VR56.4
 79. 05/31 20:15 Mw3.8 H_35km VR57.8

Okinawa

May 01,2025–May 31,2025(JST)



- | | | |
|-------------------------------------|-------------------------------------|-------------------------------------|
| 1. 05/01 07:35 Mw3.8 H_38km VR64.5 | 15. 05/07 19:50 Mw4.5 H_23km VR73.0 | 41. 05/15 10:38 Mw3.9 H_41km VR61.8 |
| 3. 05/01 19:21 Mw3.8 H_59km VR71.0 | 17. 05/08 00:57 Mw4.2 H_23km VR75.8 | 48. 05/19 04:55 Mw4.0 H_35km VR64.1 |
| 9. 05/04 15:20 Mw4.2 H_23km VR74.9 | 23. 05/10 20:45 Mw4.5 H_68km VR90.7 | 52. 05/22 10:50 Mw3.9 H_35km VR75.0 |
| 12. 05/05 19:27 Mw4.7 H_8km VR58.7 | 34. 05/14 10:16 Mw3.9 H_29km VR64.9 | |
| 14. 05/07 11:15 Mw4.5 H_23km VR68.2 | 35. 05/14 11:48 Mw4.3 H_32km VR71.0 | |

紀伊半島・東海地域の深部低周波微動活動状況 (2025年5月)

● 4月27日～5月14日頃に紀伊半島南部から北部において、活発な微動活動。

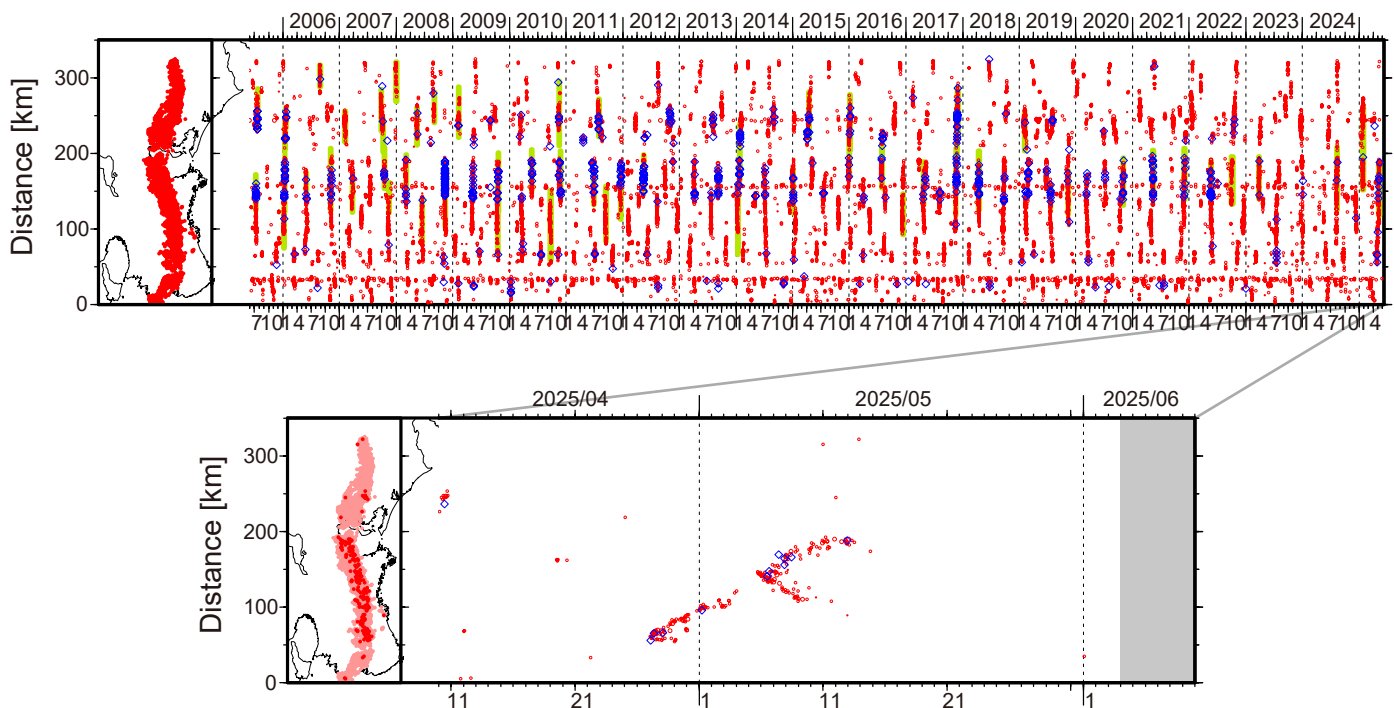


図1. 紀伊半島・東海地域における 2005年6月～2025年6月3日までの深部低周波微動の時空間分布（上図）. 赤丸はエンベロープ相関・振幅ハイブリッド法 (Maeda and Obara, 2009) およびクラスタ処理 (Obara et al., 2010) によって1時間毎に自動処理された微動分布の重心である. 青菱形は周期20秒に卓越する超低周波地震 (Ito et al., 2007) である. 黄緑色の太線はこれまでに検出された短期的スロースリップイベント (SSE) を示す. 下図は2025年5月を中心とした期間の拡大図である. 4月27日～5月14日頃には、奈良・和歌山県境付近から三重県北部において活発な微動活動がみられた. この活動は奈良県南部で開始した後、北東方向への活動域の移動が5月4日頃までみられた. 5月5日17:05頃に三重県北部の深さ約19kmで発生したM2.9の地震 (Hi-net 暫定値) 後の17:10過ぎからは三重県中部で活動が活発化し、北東および南西方向への活動域の移動がみられた. 南西方向の活動は奈良・三重県境付近まで達し、11日頃まで活動がみられた. 北東方向の活動は三重県北部に達し、14日頃まで活動がみられた. この活動に際し、傾斜変動から短期的SSEの断層モデルも推定されている.

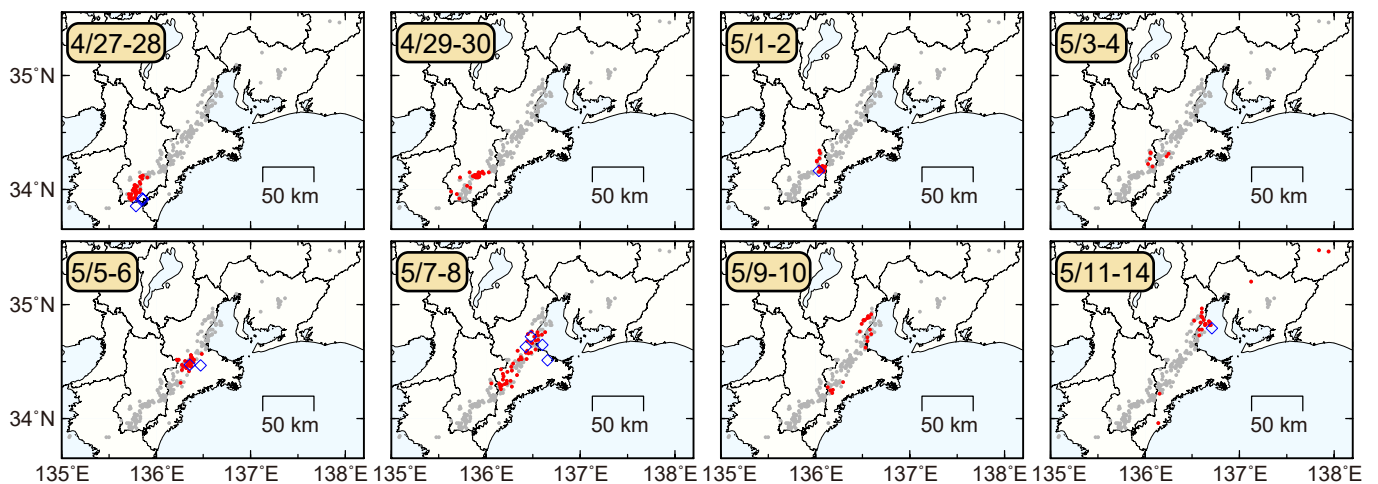


図2. 各期間に発生した微動 (赤丸) および深部超低周波地震 (青菱形) の分布. 灰丸は、図1の拡大図で示した期間における微動分布を示す.

● 顕著な活動は、とくにみられなかった。

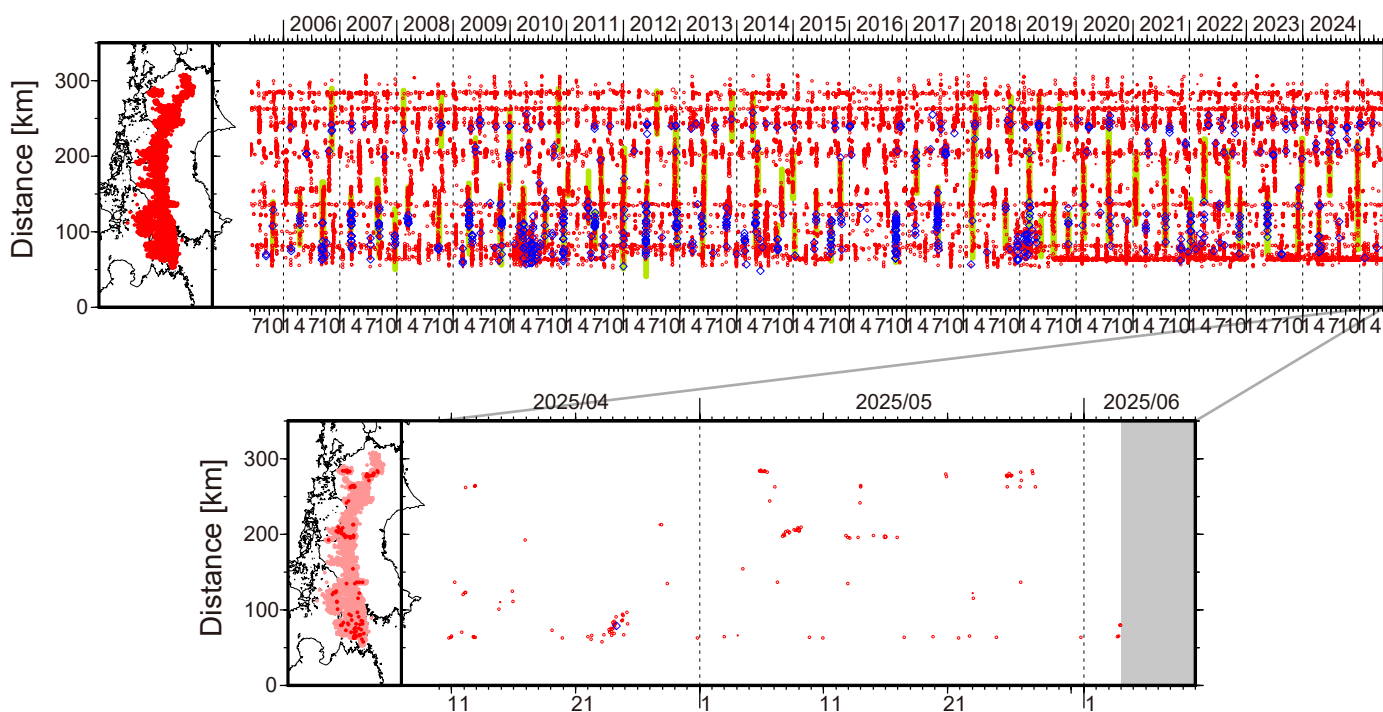


図1. 四国における2005年6月～2025年6月3日までの深部低周波微動の時空間分布(上図). 赤丸はエンベロープ相関・振幅ハイブリッド法(Maeda and Obara, 2009)およびクラスター処理(Obara et al., 2010)によって1時間毎に自動処理された微動分布の重心である. 青菱形は周期20秒に卓越する超低周波地震(Ito et al., 2007)である. 黄緑色太線は、これまでに検出された短期的スロースリップイベント(SSE)を示す. 下図は2025年5月を中心とした期間の拡大図である. 5月以降の期間について、顕著な活動はとくにみられなかったものの、愛媛県東部において、5月7～9日頃に小規模な活動が、5月12～13日および15～16日頃にごく小規模な活動がみられた. 5月25～28日頃には徳島県中部から香川・徳島県境付近において、小規模な活動がみられた. 5月5～6日には香川県付近、5月13～14日頃には香川・徳島県境付近において、それぞれごく小規模な活動がみられた.

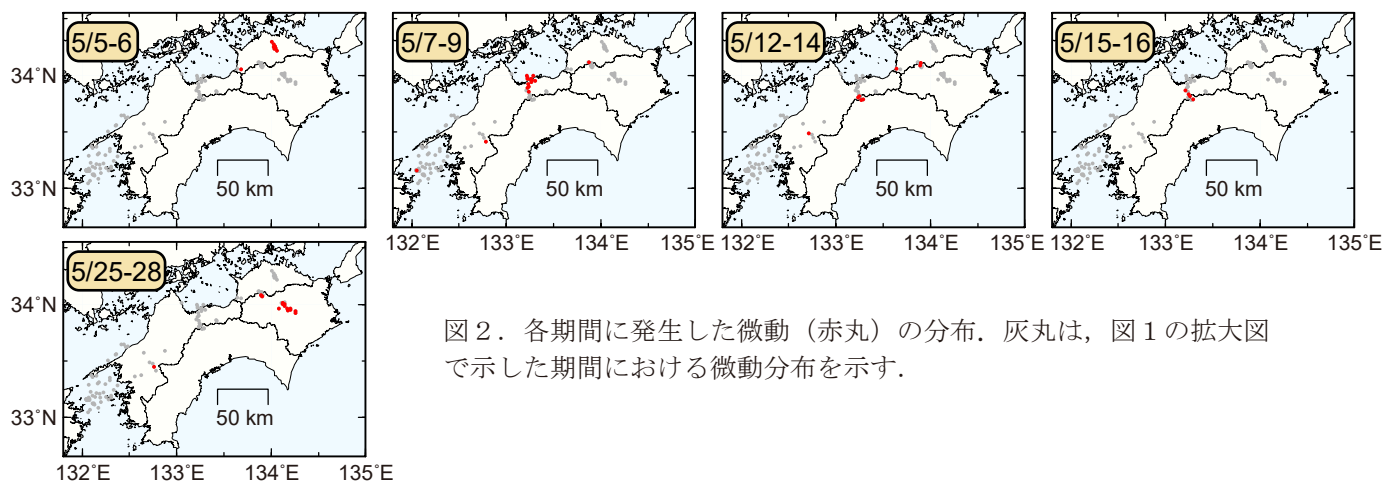


図2. 各期間に発生した微動(赤丸)の分布. 灰丸は、図1の拡大図で示した期間における微動分布を示す.

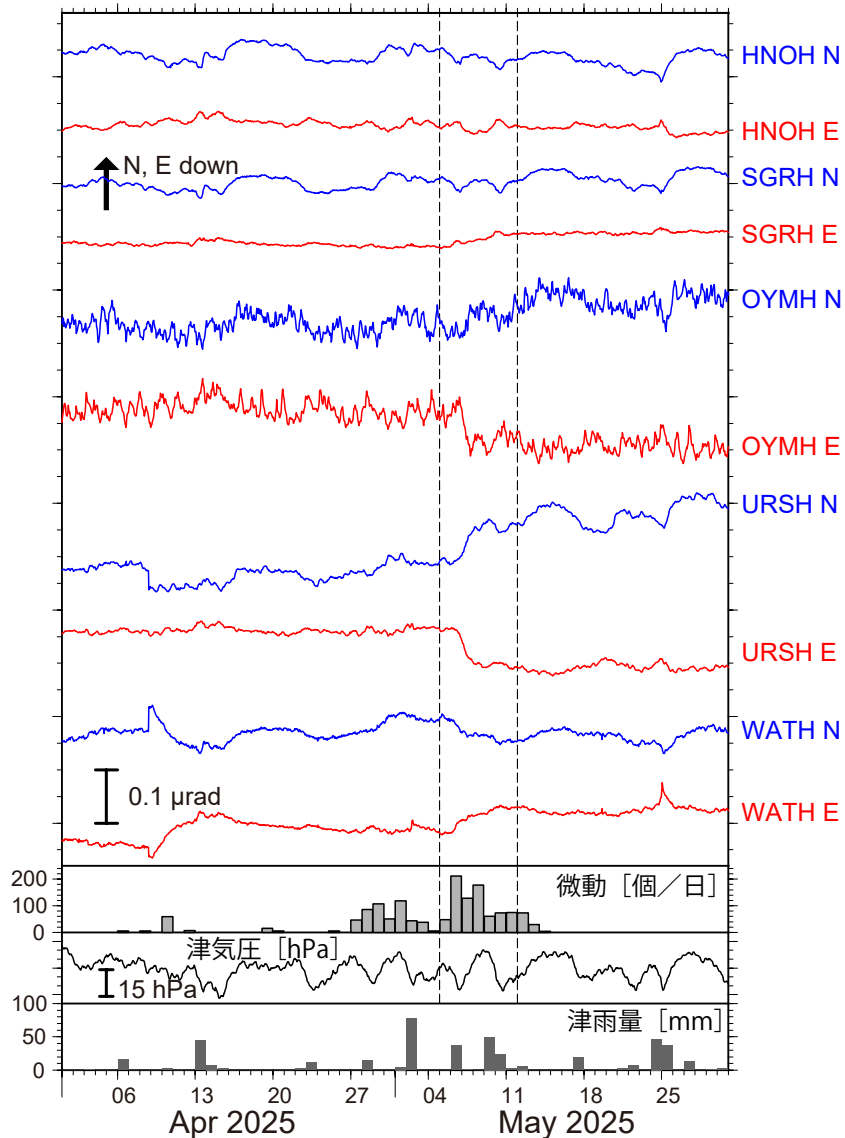


図1: 2025年4月1日~5月30日の傾斜時系列。上方への変化が北・東下がりの傾斜変動を表し、BAYTAP-Gにより潮汐・気圧応答成分を除去した。5月5日~11日の傾斜変化ベクトルを図2に示す。紀伊半島北部~愛知県西部での微動活動度・気象庁津観測点の気圧・雨量をあわせて示す。

・ 紀伊半島北部を活動域とする短期的スロースリップイベント (M_w 6.0)
 ・ 2025年1月 (M_w 6.1) 以来約4ヶ月ぶり

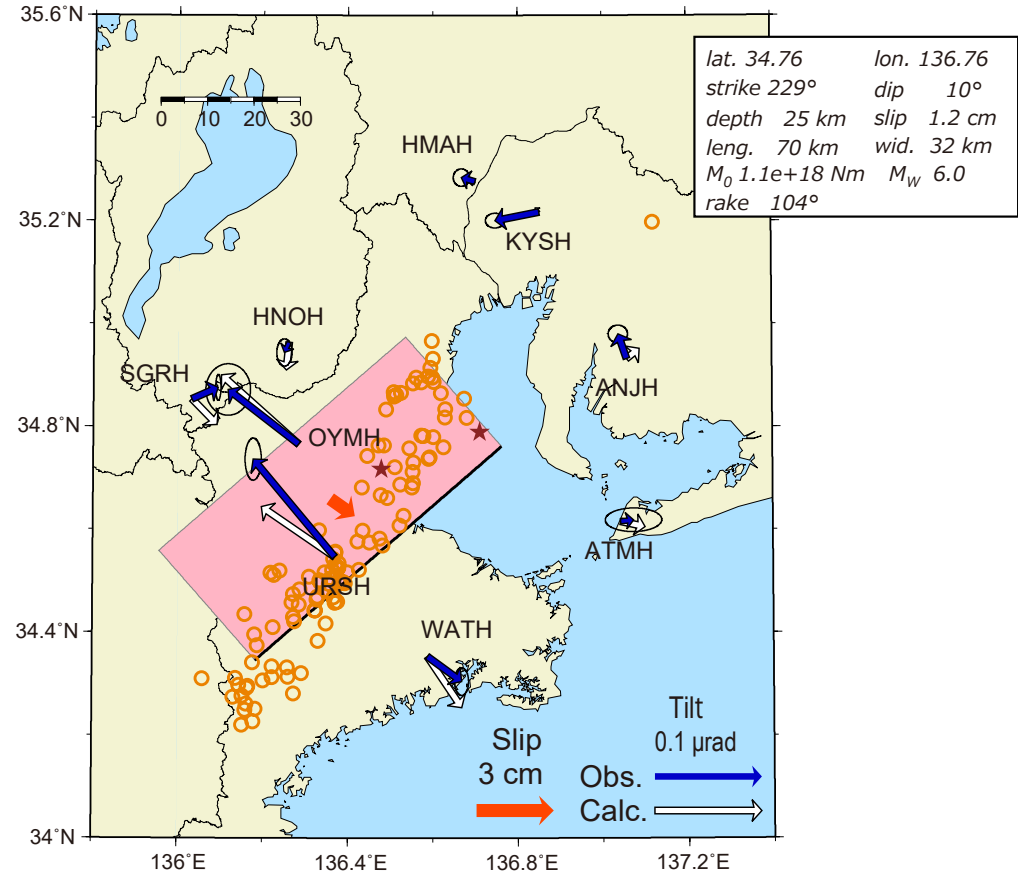


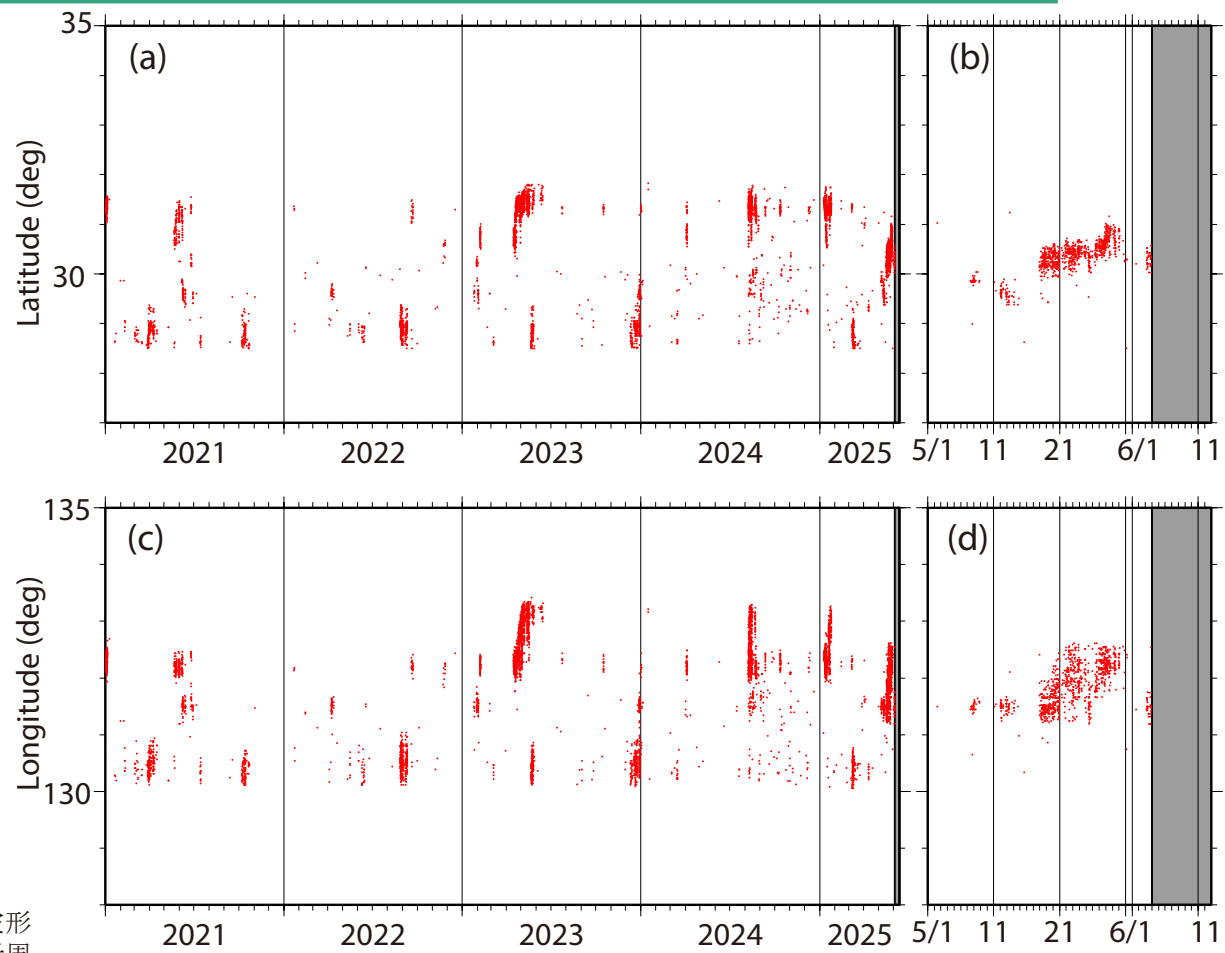
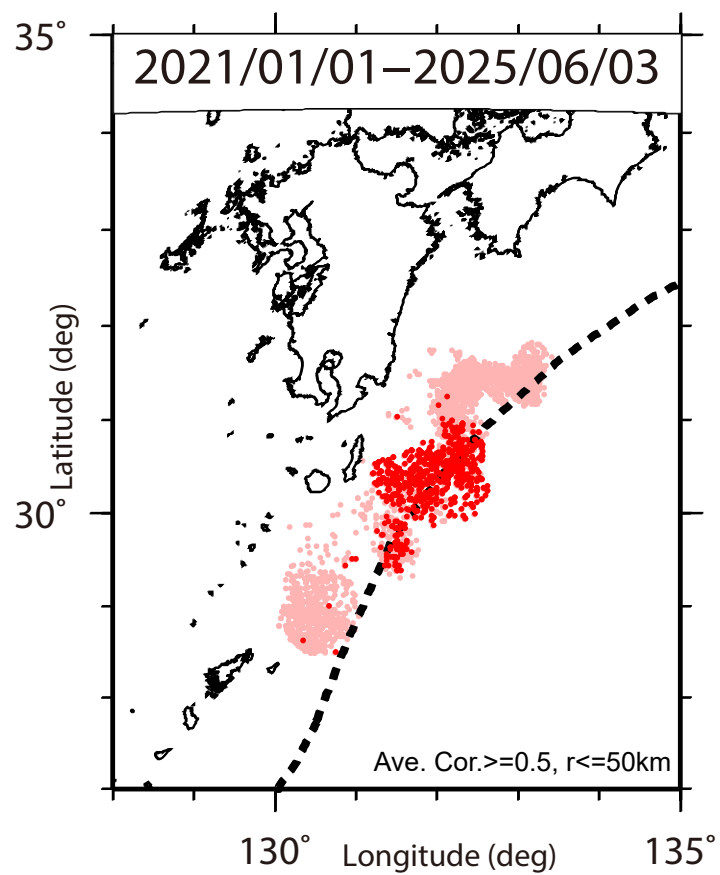
図2: 5月5日~11日に観測された傾斜変化ベクトル(青矢印)、推定されたスロースリップイベントの断層モデル(赤矩形・矢印)、モデルから計算される傾斜変化ベクトル(白抜き矢印)を示す。1時間ごとの微動エネルギーの重心位置(橙丸)、深部超低周波地震(茶星印)もあわせて示す。すべり角はプレート相対運動方向に固定している。

謝辞

気象庁のWEBページで公開されている気象データを使用させて頂きました。記して感謝いたします。

日向灘及びその周辺域における超低周波地震活動（2025年5月）

- 防災科研F-net記録の波形相関解析によって既知の地震・超低周波地震の類似イベントを検出。
- 5月上旬、中旬に種子島の南東で超低周波地震、数日の休止の後に種子島の東で活動は活発化して北東方向に移動・拡大。



第1図. 2021年1月1日から2025年6月3日までの期間内に波形相関解析 [Asano et al. (2015)] によって検出された超低周波イベントの震央分布. 検出イベントを防災科研の手動または自動検測震源と照合して通常の地震を除去した後に, それ以外を超低周波イベントとして桃色 (2025年4月30日以前), および赤色 (5月1日以降) の点でそれぞれ示す.

第2図. 第1図と同じ期間内に検出された超低周波イベントの時空間分布. 超低周波イベントを赤色の点で示す. (a)および(b)に緯度分布の, (c)および(d)に経度分布の時間変化をそれぞれ示す. また, (a)および(c)に2021年1月1日以降, (b)および(d)には2025年5月1日以降の分布をそれぞれ示す.

山口県北部の地震活動に伴う傾斜変動

2025/03/26

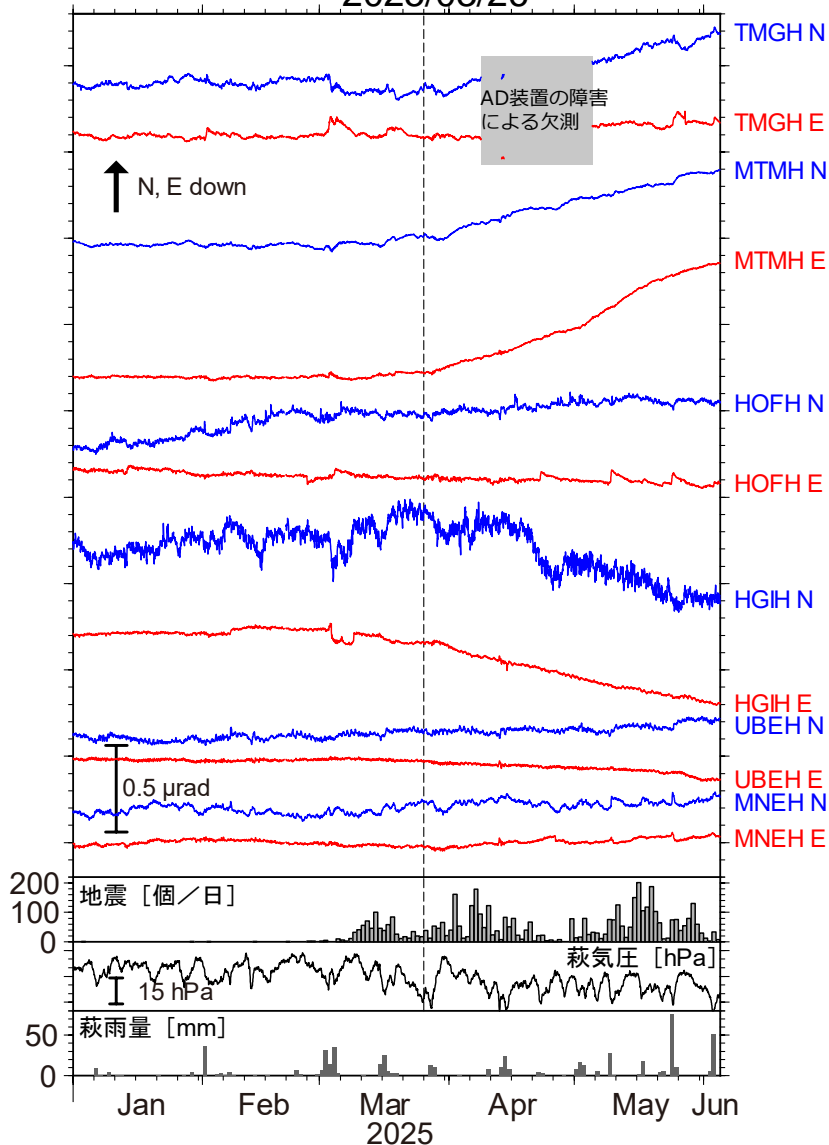


図1: 2025年1月1日～6月4日の傾斜時系列。上方方向への変化が北・東下がりの傾斜変動を表し、BAYTAP-Gにより潮汐応答成分を除去した。3月26日～6月4日の傾斜変化ベクトルを図2に示す。図2の矩形領域内(深さ10～50km)での地震活動度、気象庁萩観測点の気圧・雨量を合わせて示す。

●山口県北部における活発な地震活動域の周辺の防災科研Hi-net観測点で、2025年3月下旬頃から傾斜変化を観測
●Hi-netむつみ観測点 (MTMH) で東北東方向に約0.77 μradianの変化

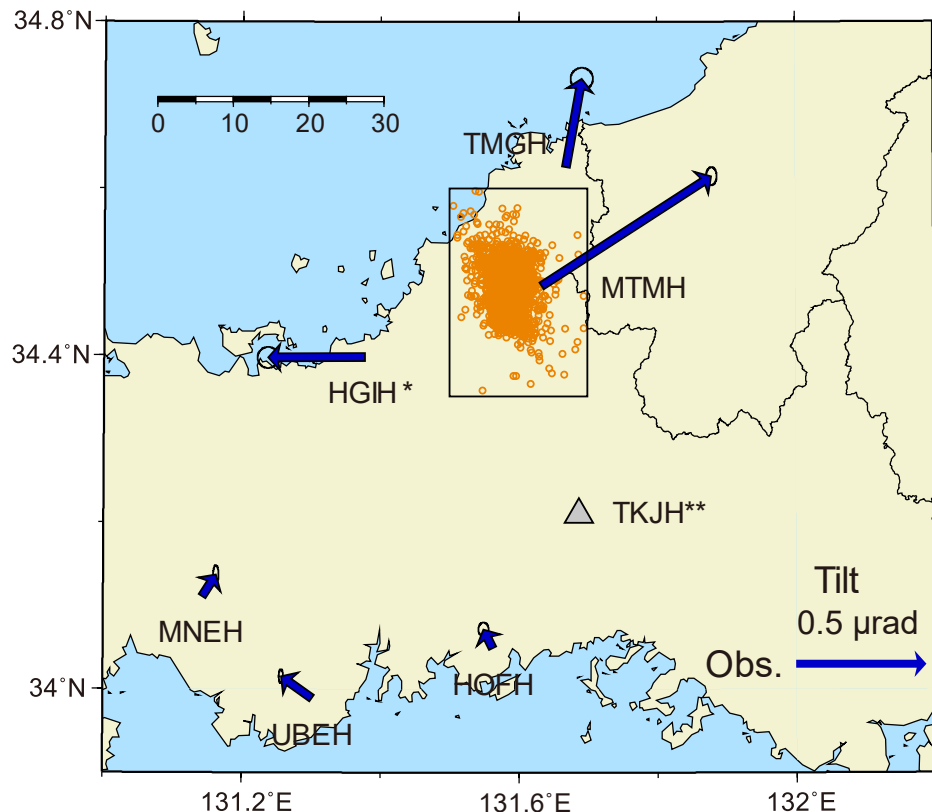


図2: 2025年3月26日～6月4日に観測された傾斜変化ベクトル(青矢印)。1月1日～6月4日のHi-netによる震央分布(矩形領域内、深さ10～50km)を橙丸で示す。
*Hi-net萩(HGIH)観測点のNS成分の変化はゼロとして表示している。
**Hi-net徳地(TKJH)観測点の傾斜時系列は図4に示す。

謝辞
気象庁のWEBページで公開されている気象データを使用させていただ
きました。記して感謝いたします。

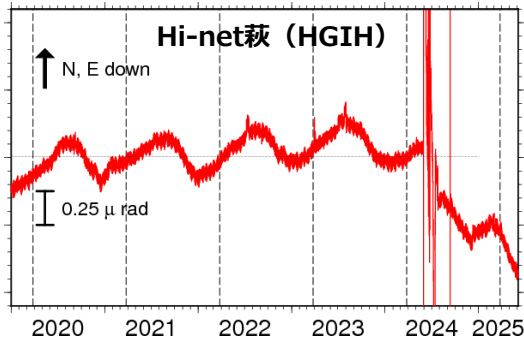
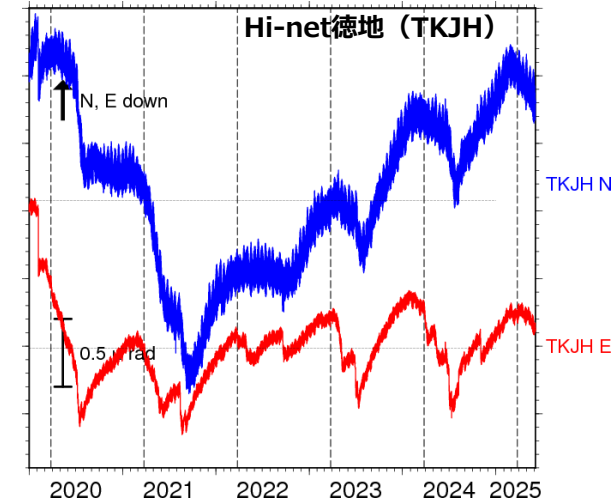
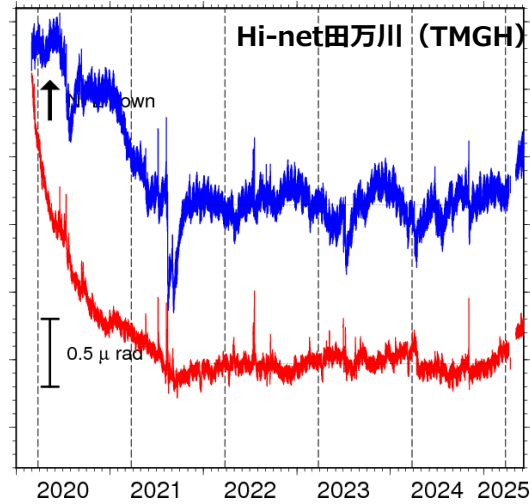
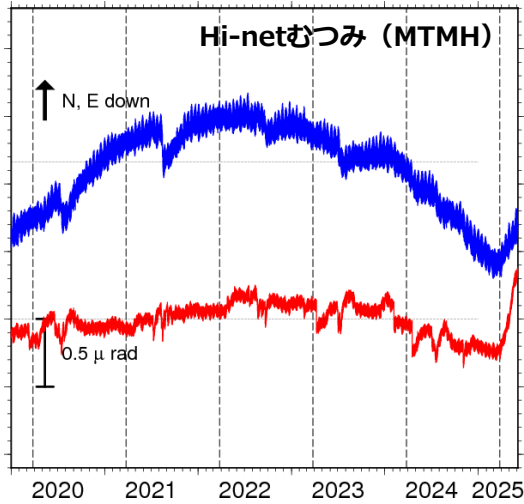


図3:2020年1月1日～2025年6月4日のHi-netむつみ (MTMH), 萩 (HGIH), 田万川 (TMGH) の傾斜時系列. 図の見方は図1と同じだが, 潮汐成分の補正は行っていない. 各年の3月26日を破線で示している.

図4:2020年1月1日～2025年6月4日のHi-net徳地 (TKJH) の傾斜時系列. 図の見方は図3と同じ. 2025年3月頃から変化が見られるが, 年周変化等の定常的な変化との区別がつかない.